

Study the effect of the Aperture on Cassegrain Telescopes

دراسة تأثير فتحة الإدخال على التلسكوب الكاسكريني

(*) أ. م. د. رجاء عبد الأمير مدلول (** الباحثة مروه جواد حزام الجبوري

(*)-(**) جامعة كربلاء - كلية العلوم - قسم الفيزياء - العراق

الخلاصة:-

تم في هذا البحث دراسة تأثير فتحة الإدخال (Aperture) على بعض المعلومات البصرية التي تتحكم بجودة الصورة المكونة بواسطة التلسكوب الكاسكريني لغرض تقييم أداء هذا التلسكوب إن دراسة مساحة البقعة المضيئة (RMS) وشكل توزيع الأشعة فيها وكمية الطاقة المتجمعة Mean Square Encircled Energy (Enc) والربيع الكروي spherical Aberration تعتبر من أهم العوامل المؤثرة على تكوين الصورة في أي تلسكوب والتي من خلالها يمكن تقييم عمل التلسكوب ولقد تم دراسة هذه المعلومات من خلال استخدام برنامج Zemax حيث أظهرت النتائج أن زيادة فتحة الإدخال يؤدي إلى زيادة الربيع الكروي في الصورة (أو المنظومة البصرية)، كذلك يؤدي في نفس الوقت إلى زيادة مساحة البقعة المضيئة (RMS)، أما الطاقة المتجمعة فإنها تقل بزيادة فتحة الإدخال للمركبة الالكترونية وتزداد للمركبات الكروية وهذا دليل جودة التصميم البصري لهذه الحالة المدروسة للتلسكوب الكاسكريني.

Abstract:-

In this research study the effect of (Aperture) on some of the parameters that control the visual quality of the image formed by Cassegrain telescope for the purpose of evaluate the performance of this telescope that study (RMS) Root Mean Square.

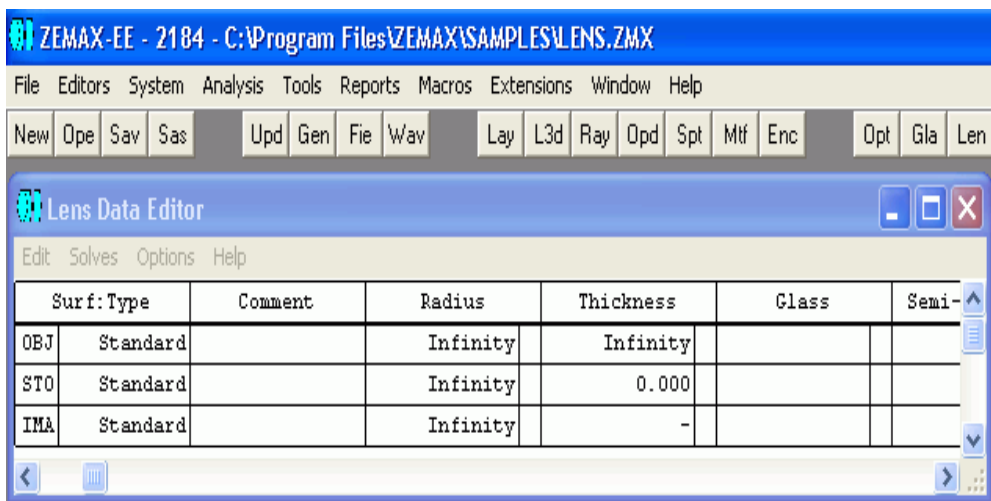
The form of the distribution of the rays Encircled Energy (Enc) and A spherical Aberration is one of the most important factors affecting the composition of the image in the telescope and by which they can evaluate the work of the telescope. I have been studying these parameters through the use of program Zemax where the results showed that an increase in Aperture lead to increased A spherical Aberration in the image or visual system also leads at the same time to increase the area of the bright spot (RMS).

The Encircled Energy they increase less Aperture System spherical and non-spherical system increases and this evidence quality optical design for the case study of this topic telescope Cassegrain.

المقدمة :-Introduction

العين البشرية حساسة لجزء الطيف الكهرومغناطيسي وهو ضمن المدى الطيفي ($0.4-0.7 \mu\text{m}$) (الجزء المرئي من الطيف الكهرومغناطيسي) ولهذا السبب لا يمكن رؤية الأجسام الباعثة لأطوال موجية أطول أو أقصر من هذا المدى. وتعد الصور المرئية للأجسام المرصودة التي تشكلها العين في إثناء النهار مثالية، ولكن العين غير حساسة لشعاع الطول الموجي الطويل فلا يمكن الرؤية ليلاً. لذلك ظهرت الحاجة إلى كواشف أو مجسات خاصة لتسجيل هذه الأطوال الموجية الطويلة كذلك هناك أجسام وإجرام سماوية من بعد بحيث لا يمكن تمييزها والكشف عن لمعانها بشكل دقيق وذلك لبعدها الكبير جداً عن الراصد ولمحدودية العين البشرية في استبيان الأجسام البعيدة جداً لذا تم استخدام أدوات تساعد في الكشف وتحديد ماهية هذه الإجرام وهذه الأدوات البصرية يطلق عليها التلسكوبات. ويعتبر التلسكوب أداه جيدة لنقريب وتكبير صورة الأجسام التي لا تتمكن العين البشرية من توضيح التفاصيل الدقيقة لبعض الأجسام البعيدة وتشكل التلسكوبات تحد للباحثين والمصممين من أجل الحصول على أفضل دقة للصورة الناتجة بأقل تكاليف وأقل وزن وحجم للتلسكوب، لذا ظهرت عده أنواع من التلسكوبات كل نوع له ميزة محدده ويحل مشكلة ما كانت موجودة في التصميم الذي ظهر قبله. يتناول البحث موضوع تأثر المعلومات البصرية بفتحة الإدخال وتم هذا من خلال استخدام برنامج Zemax وهو برنامج قادر على تصميم الأجهزة والمنظومات البصرية، إذا يحقق ZEMAX جميع المتطلبات التصميم، والعمليات المثلية Optimization، والسمالية tolerance لاي منظومة بصرية ميزات يمكن المستعمل إدراكيها فضلاً عن ميزات أخرى مثل السرعة، وسهولة الاستعمال، وسرعة أعطاء النتائج.

إن معظم معالم ZEMAX تستند عليها عن طريق اختبارات موجودة على هيئة صناديق تحواريه أو قوائم واختبارات مستدلة.



الشكل (1) يوضح قائمة Zemax الرئيسية

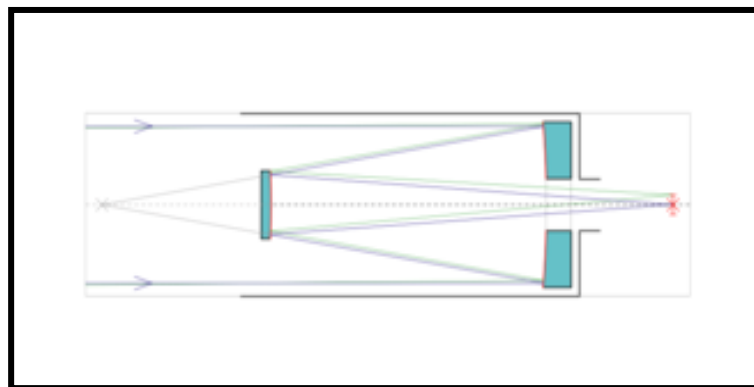
الجزء النظري:-

التلسكوب الكاسكيني هو من التلسكوبات العاكسة المكون من مرآة ابتدائية ذو قطع مكافىء، ومرآة ثانوية ذو قطع زائد هذا التصميم يعطى تصحيح جيد للصورة باستثناء الزيف الهالي، وزيج تكور المجال.

ومن مميزات هذا التصميم:-

- * ينتج عن بعد بؤري طويل مع طول الأنابيب القصير.
- * التخلص من الزيف الكروي بسبب استخدام القطع المكافىء.
- * تقليص الزيف الهالي إلى حد كبير.
- * عمق تبئر عالى.

اكتشف هذا التلسكوب عام 1672 من قبل Guillaspie Cassegrain في الوقت الذي كان لا يمكن أن تستخدم التلسكوبات الحقيقية لأن كل من المرآة الأولية والثانوية عبارة عن مرايا غير كروية الأسطح. تم صنع عدد من التلسكوبات البصرية التي تقتصر على أسطح كروية. ففي نفس الوقت تقريراً صنع إسحاق نيوتن تلسكوب نيوتن الذي يتكون من مرآة أولية شبه كروية ومرآة ثانوية مسطحة، ووضعت الاختلافات في نظام Cassegrain لتحسين الصورة وجعل أنتاج السطوح البصرية أسهل.[1].



الشكل (2) التلسكوب الكاسكيني

أما معادلة التلسكوب الكاسكيني فهي:-[2]

$$P = (F + b)/(X + 1) P , \dot{P} = PX , B = \dot{P} - b , C = DP / (F + Bi) , i = (CF - DP) / B$$

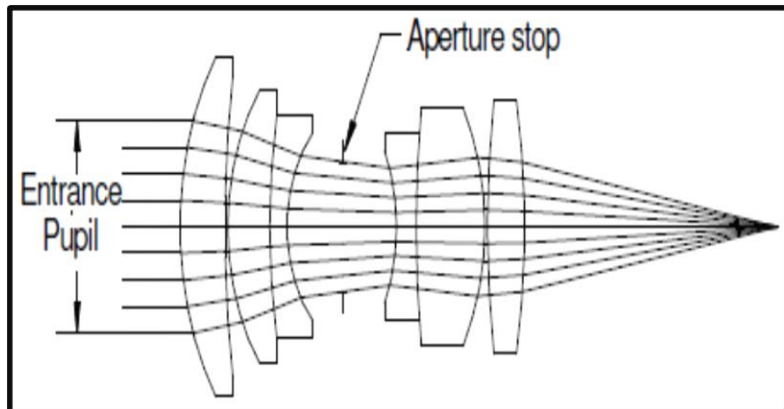
حيث أن: P =تبئر الابتدائي لنقطة التقاطع. B =تفريق المرأة. \dot{P} =تبئر الثانوي لنقطة التقاطع.

C =وضوح الفتحة الثانوية. F =بعد البؤري الابتدائي. i =حجم الصورة النهائي.

D =القطر الابتدائي. b =تبئر الخافي. X =التكبير الثنائي.

فتحة الإدخال :- Aperture

هي نقطة محورية تتكون من تقاطع الأشعة في النظام البصري، تقع في أي مكان من النظام البصري للسيطرة على الزيون المحورية وهذا واضح في التصوير الفوتوغرافي حيث تكون الفتحة واقعة بين مجموعتين من العدسات.. تولد حدود حادة للصورة وتقيها من الشعاع المستعار وغير المرغوب فيه وكذلك تحدد مجال الرؤيا.[3]



الشكل (3) فتحة الإدخال.

وتصف وفق المعادلة :-

$$F/\# = f/D \dots \dots \dots \quad (1)$$

الفتحة: F/#

F: العدد البؤري.

القطر: D

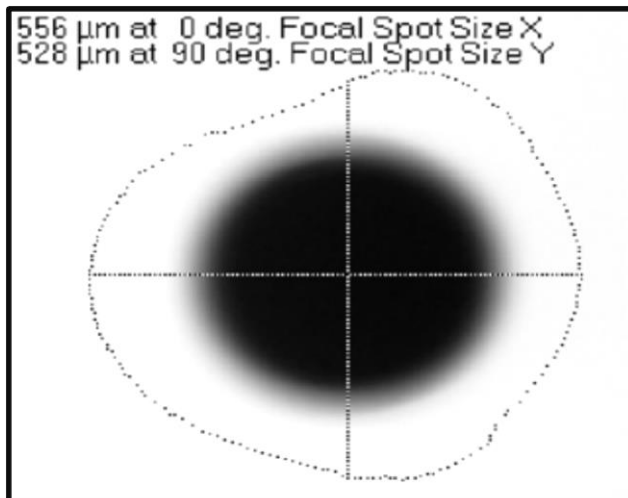
NA: الفتحة العددية.

$$NA = 1/2 (F/\#) \dots \dots \dots (2)$$

المعلمات البصرية:-

-:- Spot Size(RMS) المساحة البقعة المضيئة

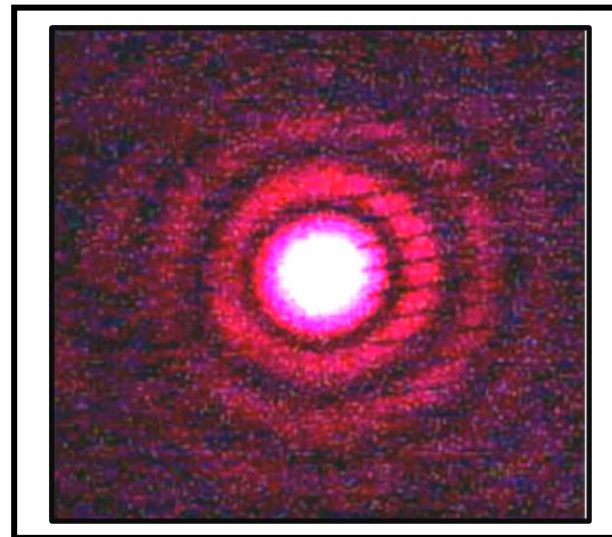
هي المسافة بين الأشعة ونقطة المصدر وتعطي فكرة تقريرية عن انتشار الأشعة لأنها تعتمد على شكل الشعاع. ويعتبر حساب مساحة البقعة ذات أهمية كبيرة في تصميم البرمجيات البصرية لأنها تعتبر الجذر التربيعي لتبين التوزيع وهي تمثل توزيع الطاقة بدقة وتعتمد على الفتحات المستخدمة سواء كانت دائرية أو مستطيلة.^[5]



الشكل (4) مساحة البقعة المضيئة

الطاقة المتجمعة :-:Encircled Energy

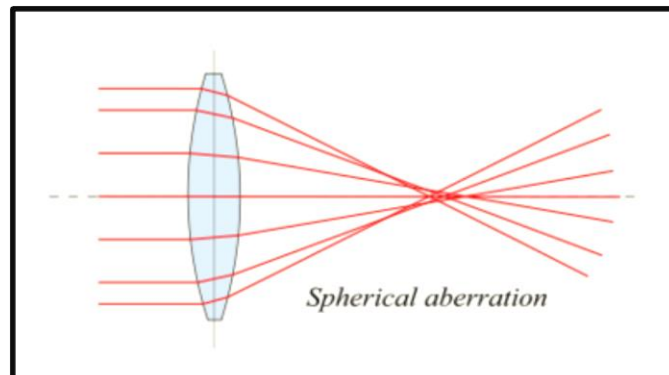
تعتبر دالة الطاقة المتجمعة من المعايير المهمة التي يعتمد عليها تعين كفاءة المنظومة البصرية وهي مقياس لتمرير الطاقة في الصورة البصرية وهي نتيجة هامة لدالة الانتشار النقاطية (Point Spread function) حيث تمثل جزء صغير من الطاقة الكلية لهذه الدالة في مستوى الصورة وتعتبر من المقاييس المهمة في تحديد كفاءة النظام في تركيز ونقل الطاقة من مستوى الجسم إلى مستوى الصورة على طول المحور البصري.[6]



الشكل (5) الطاقة المتجمعة

الزيغ الكروي :-:Spherical aberration

هو من الزيوغ المحورية (on-Axis) يحدث عندما يكون الجسم واقعا على المحور البصري. وهو يعد من الزيوغ المتناظرة (Symmetric) حيث يكون توزيع شدة للصورة متناظرة مع المحور العمودي لمستوى الصورة وعادة ينتج عنه تغير في البعد البؤري.[7].

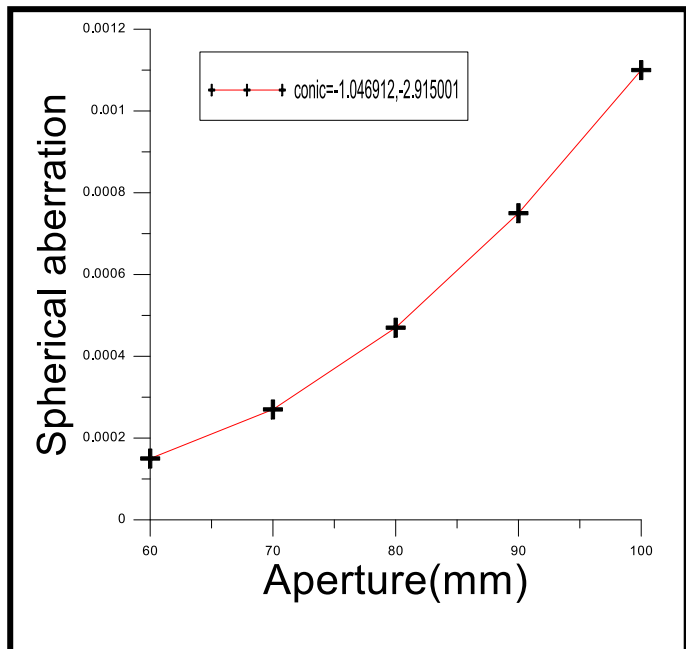


الشكل (6) الزيغ الكروي

النتائج والمناقشة -: Result Discussion

تأثير فتحة الإدخال على الزيغ الكروي.

يُوضح الشكل (7) والجدول (1) والشكل (8) والجدول (2) تأثير فتحة الإدخال على الزيغ الكروي لمنظومة لاكرورية ومنظومة كروية على التوالي ، وقد بيّنت الإشكال أن زيادة فتحة الإدخال للنظام البصري يؤدي إلى زيادة الزيغ الكروي لكل مرتبة بصرية كما و عند المقارنة بين الشكلين يلاحظ من حيث قيم الزيغ الكروي لكل حالة نجد إن مقدار الزيغ لمنظومة اللاكرورية أقل منه لمنظومة الكروية هذا يعني إن وجود المرأة اللاكرورية قلل من تأثير الزيغ الكروي في النظام البصري.[9] ،[8].

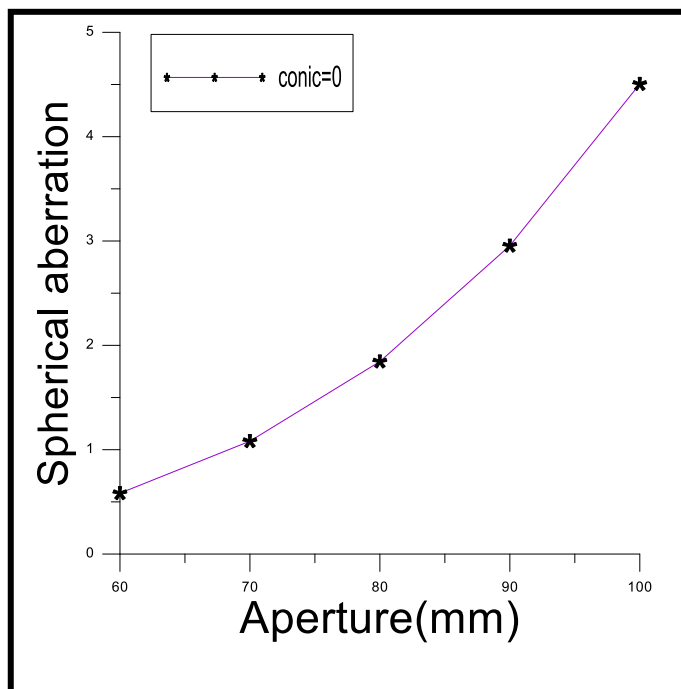


الشكل (7) يوضح تأثير فتحة الإدخال على الزيغ الكروي لمنظومة لاكرورية.

الجدول (1) تغير فتحة الإدخال مع الزيغ الكروي عند مجال رؤيا=0
 $\text{conic}=-1.046912,-2.915001$, $\lambda=0.55\mu\text{m}$

Aperture(mm)	60	70	80	90	100
Spherical aberration	0.00015	0.00027	0.00047	0.00075	0.0011

للاحظ إن إدخال العناصر البصرية اللاكرورية في التصميم يقلل من تأثير زيادة قطر فتحة الدخول على كمية الزيوج المرافقه للمنظومة البصرية وهذا ما يمكن المصمم من استخدام فتحات كبيرة نسبياً لتجميع اكبر كمية من الضوء الصادر من الجسم وبالتالي الحصول على صورة واضحة أكثر.



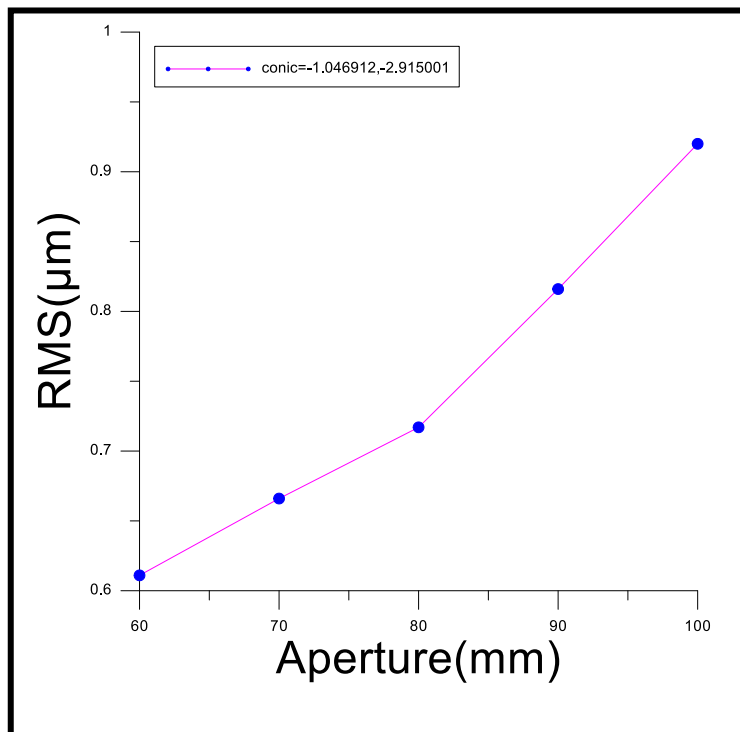
الشكل (8) يوضح تأثير فتحة الإدخال على الزيوج الكروي للمنظومة الكروية.

الجدول (2) تغير فتحة الإدخال مع الزيوج الكروي عند مجال رؤيا=0، طول موجي $\lambda=0.55\mu\text{m}$

Aperture(mm)	60	70	80	90	100
Spherical aberration	0.583	1.0817	1.845	2.955	4.505

تأثير فتحة الإدخال على مساحة البقعة المضيئة:-

تُشير الأشكال (9) و(10) والجداول (3) و(4) إلى تأثير فتحة الإدخال على مساحة البقعة (RMS) للتصميم الكروي والتصميم اللاكروري على التوالي ومن هذين الشكلين يتضح أن مساحة البقعة المضيئة (RMS) تزداد عندما تتغير قيمة فتحة الإدخال من (60-100) ويتبين ذلك من خلال الأشكال (11) و(12)، ومن خلال الجداول يتبين إن قيم RMS قلت من 74.650 للتصميم الكروي إلى 0.611 للتصميم اللاكروري هذه نتيجة إدخال الشكل اللاكروري على سطوح العدسات (2 و 3). حيث إن المركبات اللاكرورية تقلل من مساحة البقعة عن طريق معالجة الزيوج الكروية [10، 11].

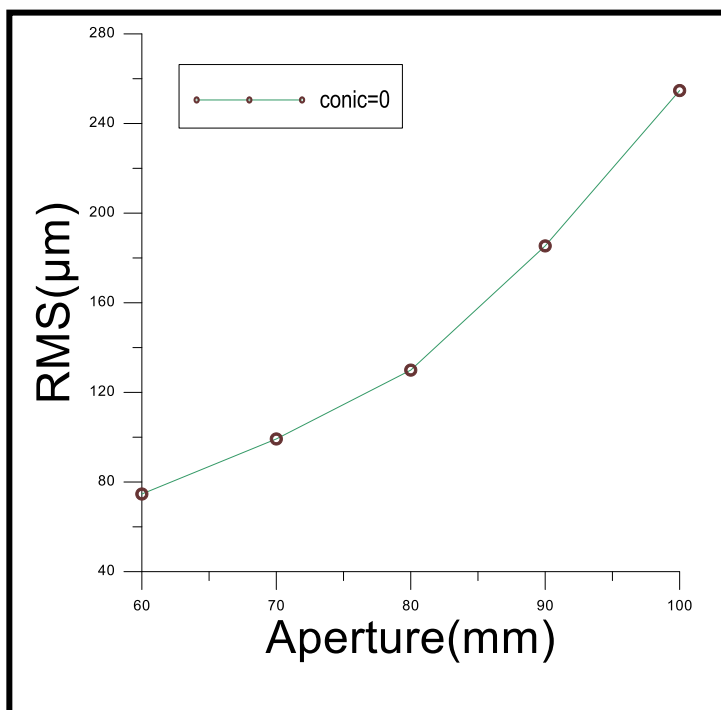


الشكل (9) يوضح تأثير فتحة الإدخال على مساحة البقعة المضيئة لمنظومة لاكرورية.

الجدول (3) تغير فتحة الإدخال مع الزينغ الكروي عند مجال رؤيا=0,
 $\text{conic}=-1.046912,-2.915001$, $\lambda=0.55\mu\text{m}$

Aperture(mm)	60	70	80	90	100
RMS(μm)	0.611	0.666	0.717	0.816	0.920

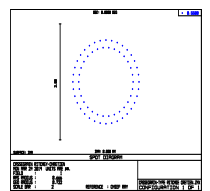
يتضح من الشكل (10) إن زيادة فتحة الدخول يزيد من حجم البقعة المضيئة وهذا ناتج من دخول مراتب زيوغ إلى البقعة وبالتالي زيادة حجمها وبما إن استخدام العناصر اللاكرورية يقلل الزيف الكروي وبما أن الأشعة تسقط بزاوية صفر مع المحور البصري لذلك فان استخدام السطوح اللاكرورية يقلل من حجم البقعة المضيئة. (paraxial approximation)



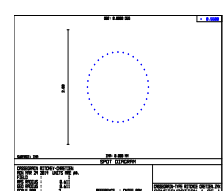
الشكل (10) يوضح تأثير فتحة الإدخال على مساحة البقعة المضيئة لمنظومة كروية.

الجدول (4) تغير فتحة الإدخال مع الزيف الكروي عند مجال رؤيا=0,
conic=0, $\lambda=0.55\mu\text{m}$

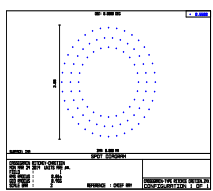
Aperture(mm)	60	70	80	90	100
RMS(μm)	74.650	99.218	129.949	185.375	254.714



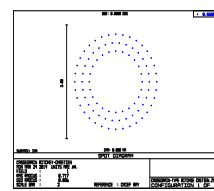
Aperture(70)



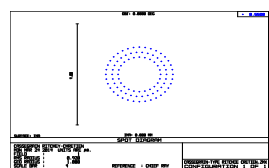
Aperture(60)



Aperture(90)

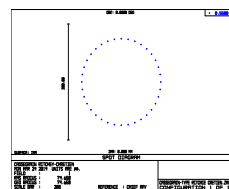
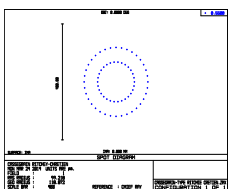


Aperture(80)



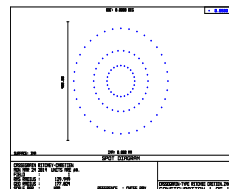
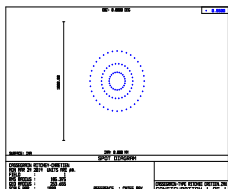
Aperture(100)
Wave=0.55 , field=0 ,conic=-1.046912 ,-2.915001

الشكل (11) تأثير الفتحة على مساحة البقعة



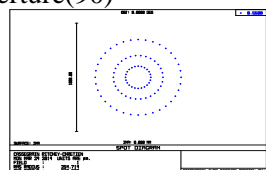
Aperture(70)

Aperture(60)



Aperture(90)

Aperture(80)



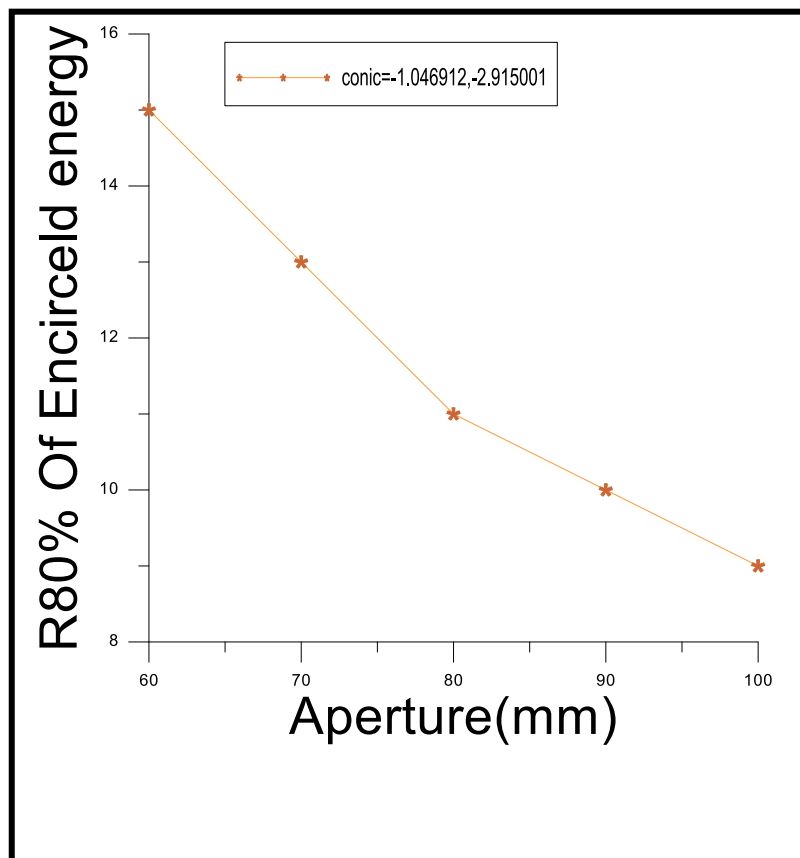
Aperture(100)
Wave=0.55 , field=0 ,conic=0

الشكل (12) تأثير الفتحة على مساحة البقعة

تأثير فتحة الإدخال على الطاقة المتجمعة:-

أن الشكل (13) يوضح مقدار الطاقة المتجمعة في مستوى الصورة ونلاحظ من الجدول (5) إن مقدار الطاقة المتجمعة يقل بزيادة فتحة الإدخال، ومن خلال منحني الطاقة نستطيع إن نستدل على جودة وعدم جودة التصميم البصري، فكلما كان ميل المنحني صغيرا كانت الطاقة المتجمعة أعظم ما يمكن، حيث نلاحظ من الإشكال (15) إن نصف القطر عند قيمة الطاقة المتجمعة 80% يقل بتأثير فتحة الإدخال للمركبة اللاكرورية.

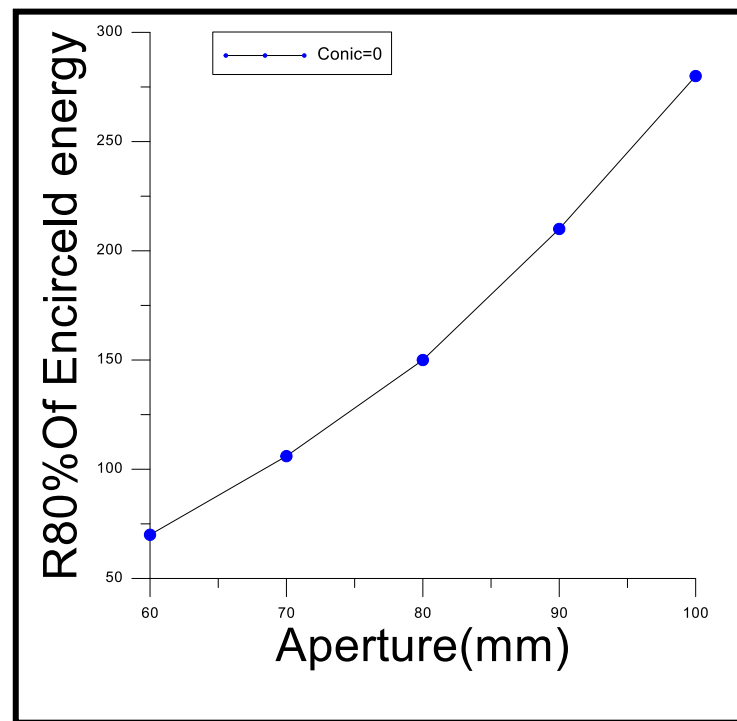
إما بالنسبة للمنظومة الكروية حيث نلاحظ من الشكل (14) والجدول (6) زيادة مقدار الطاقة المتجمعة مع زيادة فتحة الإدخال وذلك بسبب إن قيمة نصف القطر عند الطاقة المتجمعة 80% تزداد بتأثير الفتحة وبالتالي فإن الطاقة تتجمع في نقطة أكبر وهذا يعني مساحة البقعة الضوئية أكبر (RMS) وهذا يتضح في الشكل (16) وحسب المساحة المختارة في البحث.[12] ،[13].



الشكل (13) يوضح تأثير فتحة الإدخال على الطاقة المتجمعة لمنظومة لاكرورية.

الجدول (5) تغير فتحة الإدخال مع الزieg الكروي عند مجال رؤيا=0,
 $\text{conic}=-1.046912,-2.915001$, $\lambda=0.55\mu\text{m}$

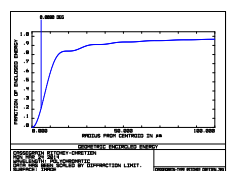
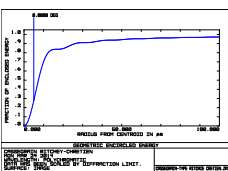
Aperture(mm)	60	70	80	90	100
Encircled energy	15	13	11	10	9



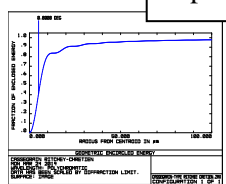
الشكل (14) تغير فتحة الدخول مع الطاقة المتجمعة لمنظومة كروية.

الجدول (6) يوضح تأثير فتحة الدخول على الطاقة المتجمعة عند مجال رؤيا=0,
conic=0, $\lambda=0.55\mu\text{m}$

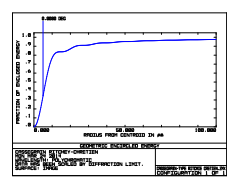
Aperture(mm)	60	70	80	90	100
Encircled energy	70	106	150	210	280



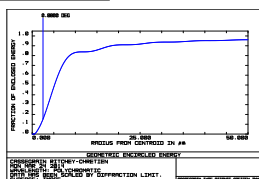
Aperture(70)



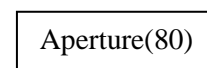
Aperture(60)



Aperture(90)



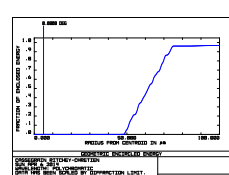
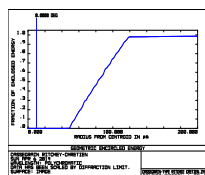
Aperture(80)



Aperture(100)

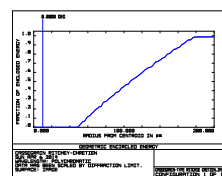
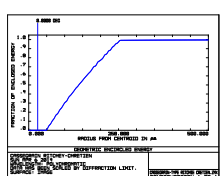
Wave=0.55 , field=0 ,conic=-1.046912 ,-2.915001

الشكل (15) تأثير الفتحة على الطاقة المتجمعة



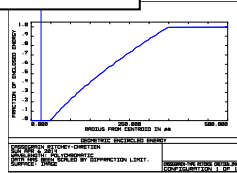
Aperture(70)

Aperture(60)



Aperture(90)

Aperture(80)



Aperture(100)

Wave=0.55 , field=0 ,conic=0

الشكل (16) تأثير الفتحة على الطاقة المتجمعة

الاستنتاجات :-Conclusions

1. يزداد الزيف الكروي بزيادة فتحة الإدخال ولوحظ أن استخدام المركبات اللاكرورية قلل من تأثير الزيف الكروي.
2. مساحة البقعة المضيئة تقل بتأثير فتحة الإدخال ونلاحظ إن إدخال المركبات اللاكرورية تقلل من الزيوج المتولدة لذلك سوف تقل قيمة مساحة البقعة المضيئة.
3. إن مقدار الطاقة المتجمعة يقل بزيادة مساحة فتحة الإدخال للمنظومة اللاكرورية، إما بالنسبة للمنظومة الكروية فإنه يزداد مع زيادة مساحة فتحة الإدخال وإن بسبب ذلك هو إن قيمة نصف القطر عند 80% من الطاقة المتجمعة تزداد بتأثير الفتحة وذلك لأن الطاقة تتجمع في نقطة أكبر تعني إن مساحة البقعة الضوئية تصبح أكبر.

المصادر :-References

- [1] Shrooq Mahdi Ali (Optical Study on Adaptive Cassegrain Telescope), M.Sc. Thesis, University Baghdad, College of Science, Iraq (2001).
- [2] Jeffrey D. Beish, (Cassegrain Telescopes for Amaterurs), (2013).
- [3] Robert E. Fischer, Biljana Tadic-Galeb and Paul R. Yoder, (Optical System Design), Second Edition, (2008).
- [4] Peter Ceravolo, (The Wide Field Cassegrain: Exploring Solution Space), (2011).
- [5] H. F. AL-Baldwi (A Computational Investigation On The Effect Of An Infrared Optical System), M.Sc. thesis, AL-nahrain University, Iraq (2006).
- [6] C. Vijender, A. Srisailam, M.V. Ramana Murthy (Encircled Energy Factor in the PSF of Amplitude Apodised Optical System), vol.3, Issue 3, (2013).
- [7] Lud'ek Matyska, (Simulation of optical aberrations in confocal Microscopy), (2012).
- [8] A. H. Abbas, (Studying the Optical aberration effect on the Optical System Design), M.Sc. thesis, AL-nahrain University, Iraq (2008).
- [9] S. alaa aldeen, (Study the image quality of the reflected telescope "cassegrain Telescope"), M.Sc. thesis, AL-nahrain University, Iraq (2009).
- [10] Joseph M. Geary, (introduction to lens Design), center for Applied Optics, (2002)
- [11] Dr. Frank Melsheimer and Dr. Malcolm J, (A Very Wide Field, Very Fast Telescope), USA (2014).
- [12] Yajun Li (Encircled energy of diffracted Converging spherical Waves), JOSA, Vol.73, Issue 9, pp. 1101-1104 (2014).
- [13] R.S. AL-Zubaidy, (Design and Evaluation for Laser Focus System for Medical Uses), M.S.c. University of Baghdad College of Education Ibn AL-Haitham, (2007).